

05.2;09

©1993

# ЧАСТОТНАЯ ЗАВИСИМОСТЬ ШИРИНЫ ЛИНИИ ФМР В Ga, Sc-ЗАМЕЩЕННЫХ ПЛЕНКАХ ЖИГ С МАЛОЙ НАМАГНИЧЕННОСТЬЮ

*А.Г. Темирязев, М.П. Тихомирова, П.Е. Зильберман,  
А.В. Марягин, А.С. Хе*

Исследование эпитаксиальных ферритовых пленок (ФП) состава  $Y_3(Fe_{2-y}Sc_y)(Fe_{3-x}Ga_x)O_{12}$  представляет прежде всего практический интерес, поскольку магнитостатические волны (МСВ) могут распространяться в них на более низких частотах, чем в пленках железо-иттриевого граната (ЖИГ) [1]. Это открывает перспективы для создания перестраиваемых с помощью магнитного поля частотно-селективных устройств и линий задержки в высокочастотном (метровом) диапазоне, то есть на частотах  $\omega/2\pi < 300$  МГц. В связи с этим весьма важной задачей является отработка технологии эпитаксиального роста ФП с малыми потерями и корректная оценка качества получаемых образцов. Традиционно, параметром магнитной диссипации является ширина линии ферромагнитного резонанса (ФМР)  $2\Delta H$ . В данной работе мы хотели бы, во-первых, обратить внимание на тот факт, что, в отличие от пленок чистого ЖИГ, образцы с большим содержанием Ga ( $x \sim 1$ ) обнаруживают сильную зависимость ширины линии ФМР от частоты. Во-вторых, показать, что качество имеющихся на сегодняшний день Ga, Sc — замещенных ФП позволяет создавать макеты устройств, имеющих весьма малые потери в метровом диапазоне.

1. Исследованные ФП были выращены методом жидкокристаллической эпитаксии на подложках из гадолиний-галлиевого граната ориентации (111). Отметим, что введение в ЖИГ немагнитных ионов Ga приводит к уменьшению намагниченности насыщения  $4\pi M_0$ . Значения  $4\pi M_0$  составляют  $4\pi M_0 \approx 1750$  Гс для чистого ЖИГ при  $x = 0$  и  $4\pi M_0 \sim 400$  Гс в легированном ЖИГ при  $x \sim 1$ . Исследованные пленки имели  $4\pi M_0 = 200-500$  Гс и толщину  $S = 20-45$  мкм. Измерения ширины линии ФМР проводились методом "магнитной ямы", аналогично работе [2]. Погрешность измерений составляла  $\pm 15\%$ . На рис. 1 представлены экспериментальные результаты для трех Ga, Sc — замещенных пленок ЖИГ и контрольного образца чистого ЖИГ. Видно, что в пленках с малой намагниченностью величина  $2\Delta H$  быстро нара-

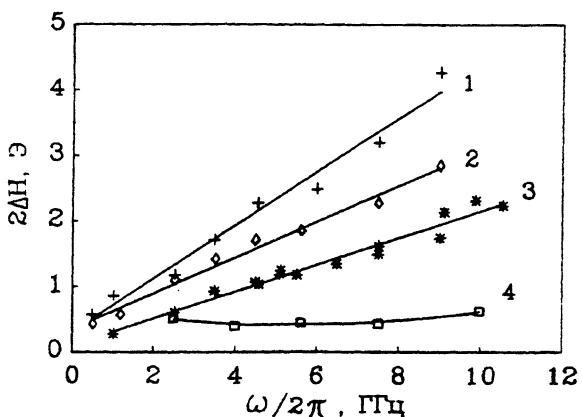


Рис. 1. Зависимость ширины линии ФМР от частоты:  
образец 1 —  $4\pi M_0 \approx 200$  Гс,  $S = 45$  мкм; образец 2 —  $4\pi M_0 \approx 300$  Гс,  $S = 40$  мкм; образец 3 —  $4\pi M_0 \approx 470$  Гс,  $S = 25$  мкм; образец 4 —  $4\pi M_0 \approx 1750$  Гс,  $S = 19$  мкм.

стает с увеличением частоты, причем с уменьшением намагниченности крутизна роста  $2\Delta H(\omega)$  увеличивается. В то же время для пленки чистого ЖИГ значение  $2\Delta H$  в частотном диапазоне 2.5–10 ГГц изменяется незначительно, что качественно согласуется с результатами, полученными в работе [2]. Это показывает, что ширина линии ФМР в легированных пленках с пониженной намагниченностью, измеренная на какой-либо одной частоте, не вполне однозначно характеризует качество материала. В связи с этим целесообразно рассмотреть вопрос о том, какое же феноменологическое описание релаксации может быть использовано для объяснения полученных результатов. Запишем уравнение движения намагниченности в виде модифицированного уравнения Блоха, учитывающего как поперечную, так и продольную релаксацию [3]

$$\frac{\partial \mathbf{M}}{\partial t} = \gamma \mathbf{M} \cdot \mathbf{H} = \omega_r \left( \mathbf{M} - \frac{M_0}{H_0} \mathbf{H} \right), \quad (1)$$

где  $\gamma$  — гиромагнитное отношение,  $H_0$  — внутреннее статическое магнитное поле,  $\mathbf{H}$  — эффективное магнитное поле,  $\omega_r$  — частота релаксации. Тогда при фиксированном магнитном поле полуширина линии ФМР составляет  $\Delta\omega = \omega_r$ . В пленке, намагниченной по нормали, полуширина линии ФМР при фиксированной частоте равна  $\Delta H = \Delta\omega/\gamma$ . В исследованных образцах измеренное значение  $\gamma$  составляло  $2\pi \cdot 2.81$  МГц/Э и не зависело от частоты. Таким образом, если  $\omega_r$  постоянна, то экспериментально измеряемые параметры релаксации не должны зависеть от частоты. Это

удовлетворительно соответствует экспериментальным данным для пленки чистого ЖИГ и результатам, полученным в [2], но не описывает частотные зависимости, наблюдающиеся в легированных пленках с низкой намагниченностью. С другой стороны, взяв иной вид релаксационного члена в уравнении (1), мы получим уравнение движения в форме Ландау-Лифшица, учитывающей лишь поперечную релаксацию

$$\frac{\partial \mathbf{M}}{\partial t} = -\gamma \mathbf{M} \cdot \mathbf{H} - \frac{\omega_d}{M^2} \mathbf{M} \cdot (\mathbf{M} \cdot \mathbf{H}), \quad (2)$$

где  $\omega_d$  — параметр релаксации. Из уравнения (2) получаем

$$\Delta H = \frac{\omega_d}{\gamma^2 M_0} \sqrt{\omega^2 + \gamma^2 (H_a^2 + M_0^2 4\pi^2 \sin^4 \theta)}, \quad (3)$$

где  $H_a$  — эффективное поле анизотропии,  $\theta$  — характерный угол между  $M_0$  и волновым вектором  $k$ . Взяв для оценки  $H_a \sim 100$  Э,  $\theta \sim S/D < 5 \cdot 10^{-2}$  (где  $D \simeq 0.1$  см диаметр “магнитной ямы”), мы получим, что при частотах выше 300 МГц слагаемое  $\omega^2$  под корнем доминирует. Тогда  $\Delta H$  линейно возрастает с частотой, и наклон этой линейной зависимости увеличивается с уменьшением  $M_0$ . Это согласуется с экспериментальными результатами для пленок легированного ЖИГ. Апроксимируя экспериментальные результаты для образцов 1, 2, 3 линейными зависимостями (прямые с соответствующими номерами на рис. 1), можно оценить значения  $\omega_d$ . Оказывается, что величины  $\omega_d$  для всех трех образцов близки и составляют  $\omega_d/2\pi \simeq 26$  КГц для пленок 1 и 2,  $\omega_d/2\pi \simeq 30$  КГц для пленки 3. Таким образом можно сделать вывод, что использование феноменологического уравнения (2) является наиболее приемлемым для описания диссипации в Ga, Sc — замещенных пленках ЖИГ с пониженной намагниченностью. При этом параметр релаксации  $\omega_d$  сохраняется примерно постоянным при изменении намагниченности пленки. Конечно, вопрос о механизмах релаксации, приводящих к различным частотным зависимостям ширины линии ФМР в пленках чистого и легированного ЖИГ, требует специального рассмотрения. На основании изложенного можно лишь предположить, что в исследованном диапазоне частот основную роль играет: 1) продольная релаксация для пленок чистого ЖИГ; 2) поперечная релаксация для пленок Ga, Sc — замещенного ЖИГ. Отметим также, что измерение  $\Delta H$  на частоте 9 ГГц, являющейся стандартной для аттестации пленок ЖИГ [4], может приводить к существенным ошибкам в оценке качества легированных пленок ЖИГ.

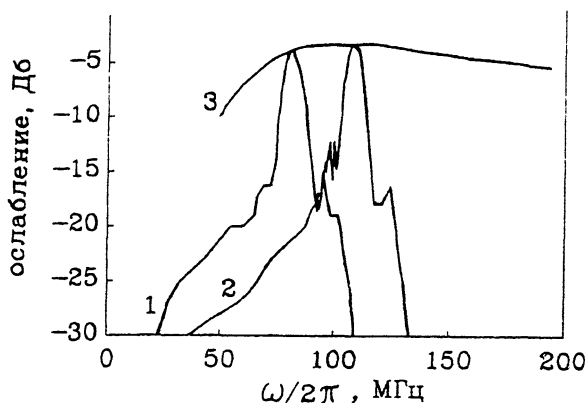


Рис. 2. Амплитудно-частотные характеристики макета фильтра при  $H_0 = 4$  Э — кривая 1,  $H_0 = 6.5$  Э — кривая 2 и зависимость вносимых потерь от рабочей частоты — кривая 3.

2. В работе [1], где исследовалось распространение МСВ в Ga, Sc — замещенных пленках ЖИГ, приведенные экспериментальные данные показывают, что суммарные потери при возбуждении, распространении и приеме МСВ на частотах  $\sim 100$  МГц очень велики и составляют 40–50 дБ. В связи с этим было бы целесообразно остановиться на вопросе о том, насколько исследовавшиеся нами пленки перспективны для создания частотно селективных устройств метрового диапазона, то есть могут ли быть реализованы подобные устройства с малыми потерями. На рис. 1 представлены характеристики макета полосно пропускающего фильтра, изготовленного на основе ФП толщиной 45 мкм с намагниченностью  $4\pi M_0 = 200$  Гс (образец 1), помещенной в касательное подмагничивающее поле  $H_0$ . Приведены амплитудно-частотные характеристики макета при  $H_0 = 4$  Э — кривая 1 и  $H_0 = 6.5$  Э — кривая 2, а также частотная зависимость вносимых потерь при изменении внешнего поля — кривая 3. Ширина полосы пропускания данного макета на уровне  $-3$  дБ составляет  $\sim 8$  МГц. Исследование фазо-частотной характеристики показало, что в пределах данной полосы фаза сигнала линейно изменяется на величину  $\simeq 150^\circ$ . Отметим, что при перестройке центральной частоты фильтра от 70 до 180 МГц вносимые потери не превышают 5 дБ. Управление при этом осуществляется за счет изменения  $H_0$  от 3 до 17 Э. Возможность распространения МСВ с малыми потерями при столь низких подмагничивающих полях обусловлена, в частности, отсутствием в пленке доменной структуры. Отметим, что при входной мощности  $P > 4$  мкВт наблюдается увеличение вносимых потерь за счет развития неустойчивости по отношению к процессам

трехмагнитного распада. Допустимые значения входной мощности могут быть несколько увеличены при использовании нормально намагниченных ФП. Тем не менее низкий по сравнению с устройствами на поверхностных акустических волнах (ПАВ) динамический диапазон устройств на МСВ может ограничивать применение последних. В то же время преимуществом МСВ фильтров является возможность перестройки рабочей частоты. Таким образом, представленные результаты показывают, что качество имеющихся на сегодняшний день Ga, Sc — замещенных пленок ЖИГ позволяет говорить о перспективности таких пленок для создания перестраиваемых фильтров метрового диапазона.

### Список литературы

- [1] Казаков Г.Т., Марягин А.В., Нам Б.П. // Письма в ЖТФ. 1988. Т. 14. В. 19. С. 1733–1737.
- [2] Калиникос Б.А., Ковшиков Н.Г., Колодин П.А., Панчурик И.П. // Электронная техника. Сер. Электроника СВЧ. 1985. В. 10. С. 53–55.
- [3] Гуревич А.Г. Магнитный резонанс в ферритах и антиферромагнетиках. М.: Наука. 1973. 592 с.
- [4] Adam J.D., Daniel M.R., Emtage R., Talisa S.H. Magnetostatic waves. Academic Press. 1991. 142 p.

Институт радиотехники  
и электроники РАН  
Фрязинская часть

Поступило в Редакцию  
9 августа 1993 г.